

Homework No.8

Ruqi Feng

December 2022

1 Electrostatics

1.1 Description

Consider the Poisson equation

$$\nabla^2 \psi = -\frac{\rho(x, y)}{\varepsilon_0} \quad (1)$$

from electrostatics on a rectangular geometry with $x \in [0, L_x]$ and $y \in [0, L_y]$. Write a program that solves this equation using the relaxation method. Test your program with:

- $\rho(x, y) = 0$, $\phi(0, y) = \phi(L_x, y) = \phi(x, 0) = 0$, $\phi(x, L_y) = 1$ V, $L_x = 1$ m, and $L_y = 1.5$ m;
- $\frac{\rho(x, y)}{\varepsilon_0} = 1$ V/m², $\phi(0, y) = \phi(L_x, y) = \phi(x, 0) = \phi(x, L_y) = 0$, and $L_x = L_y = 1$ m.

1.2 Solution

为了数值解，我们首先离散化 Poisson 方程¹

$$h^2 \rho_{ij} = u_{i,j+1} + u_{i,j-1} + u_{i+1,j} + u_{i-1,j} - 4u_{i,j} \quad (2)$$

其中 h^2/ε_0 是网格面积。

以 2 维为例，如果网格是 $n \times n$ 的，可以按照行优先的方式将 u_{ij} 写成列向量

$$\begin{pmatrix} u_{0,0} & u_{0,1} & \dots & u_{0,n-1} & u_{1,0} & \dots & u_{1,n-1} & \dots & u_{n-1,n-1} \end{pmatrix}^T \quad (3)$$

这意味着方程2的系数矩阵 (大小为 $n^2 \times n^2$) 是一个分块对角矩阵, 分块矩阵的大小约为 $3n \times 3n$ 。它十分稀疏, 直接用 Gauss 消元法求解的时间复杂度达到了 $O(n^6)$, 分块使用 Gauss 消元法求解的时间复杂度也高达 $O(3n \times (3n)^3) = O(n^4)$ 。所以我们采用 Relaxation method 迭代求解上述方程。

根据 Jacobi 法, 解的迭代公式

$$u_k^{n+1} = \frac{1}{A_k} \left(b_k - \sum_{k \neq j} A_{kj} u_j^n \right) \quad (4)$$

又由于求和中只有 4 项非零, 一次迭代的时间复杂度为 $O(n^2)$ 。为了获得更快的收敛速率, 我使用了 Gauss-Seidel 方法, 只需用已经算出的 u_k^{n+1} 代替 u_k^n 来计算 $u_l^{n+1} (l > k)$ 。

整理后的迭代公式为

$$u_{i,j}^{n+1} = \frac{1}{4} (u_{i+1,j}^n + u_{i-1,j}^{n+1} + u_{i,j+1}^n + u_{i,j-1}^{n+1} + h^2 \rho_{i,j}) \quad (5)$$

所以只需从边界开始, 向 i, j 增加的方向逐点求解即可。

1.3 Input and Outputs

按照题目所给的边界条件和 $\rho(x, y)$ 求解 Poisson 方程, 取 $\varepsilon_0 = 1$, 使用 100×100 的格点和误差 $< 1e-5$ 的收敛判据, 结果如图1和2所示

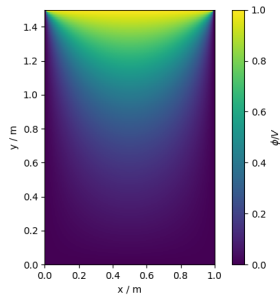


图 1: 仅上边界高电势

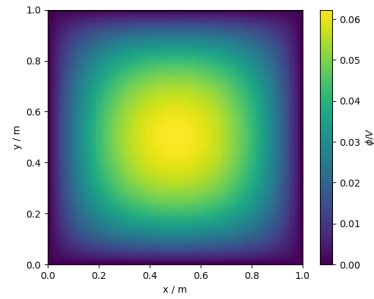


图 2: 均匀分布的面电荷

程序使用了 numpy, matplotlib 库。在安装了依赖库的环境中运行 q1_electrostatics.py 即可。

1.4 Pseudocode

Algorithm 1 Electrosatics

Input: $\rho(x, y)$, boundary conditions $\phi(0, y), \phi(L_x, y), \phi(x, 0), \phi(x, L_y)$,
grid number N , tol

Output: $\phi_{i,j}$

```
1:  $\phi_{i,j} = 0$  ▷ Initial guess
2: Set  $\phi_{i,0}, \phi_{i,N}, \phi_{0,j}, \phi_{N,j}$  according to boundary conditions
3:  $\phi_{ij}^{last} \leftarrow \phi_{ij}$ 
4: while  $\max(\text{abs}(\phi_{ij} - \phi_{ij}^{last})) > tol$  do
5:    $\phi_{ij}^{last} \leftarrow \phi_{ij}$ 
6:   for  $i$  in  $\text{range}(N)$  do
7:     for  $j$  in  $\text{range}(N)$  do
8:        $\phi_{ij} \leftarrow \frac{1}{4}(\phi_{i+1,j}^{last} + \phi_{i-1,j} + \phi_{i,j+1}^{last} + \phi_{i,j-1} + h^2 \rho_{i,j})$ 
9:     end for
10:  end for
11: end while
12: return  $\phi_{i,j}$ 
```

2 Time-dependent Schrodinger Equation

2.1 Description

Solve the time-dependent Schrodinger equation using the Crank–Nicolson method and stable explicit scheme. Consider the one-dimensional case and test it by applying it to the problem of a square well with a Gaussian initial state coming in from the left.

2.2 Solution

我们分别使用 Stable Explicit method and Crank-Nicolson 方法求解含时 Schrodinger 方程

2.2.1 Crank-Nicolson method

使用 Forward method 和 Backward method 的线性组合来近似 $\frac{d\psi}{dt}$ 得到

$$\frac{\beta}{\Delta x^2}(u_{i-1,j}-2u_{i,j}+u_{i+1,j})+\frac{1-\beta}{\Delta x^2}(u_{i+1,j-1}-2u_{i,j-1}+u_{i-1,j-1})=\frac{1}{\Delta t}(u_{i,j}-u_{i,j-1}) \quad (6)$$

其中 j 是时间, i 为空间网格坐标。当 $\beta = \frac{1}{2}$ 时, $u_{i,j}$ 的迭代关系就可以表达为

$$\vec{u}_j = (2I + \alpha B)^{-1}(2I - \alpha B)\vec{u}_{j-1} \quad (7)$$

其中 $B_{ij} = 2\delta_{ij} - \delta_{\|i-j\|,1}$ 。它总是收敛的, 而且有 $O(\Delta x^2 + \Delta t^2)$ 的精度。

2.2.2 Stable explicit method

Askar 等人在 1978 年提出 [1], 只需要在 Explicit 方法中的合适位置以上一步的 ψ 替代如下

$$\psi_j^{n+1} = \psi_j^{n-1} + \frac{i\Delta t}{\Delta x^2}(\psi_{j+1}^n + \psi_{j-1}^n - 2\psi_j^n) - 2i\Delta t V_j \psi_j^n \quad (8)$$

此方法就无条件收敛。但是, Rubin 等人在 1979 年指出 [2], 前者的证明含有 'trivial' 的错误, 所以它事实上是有条件收敛的。

2.3 Input and Outputs

取 $\frac{\hbar^2}{m} = 1$ ，分别在 $3\text{e-}2$ 和 $1\text{e-}3$ 的时间步长以及 $6\text{e-}2$ 的空间步长下使用 C-N 方法和 Stable¹ explicit 方法求解入射方势阱的高斯波包的演化。

当在 Stable explicit 方法中取时间步长较大时，我们观察到方程的解立即发散了。这和 [2] 中的结论相符合：在没有感受到势能时，收敛条件为 $\frac{\Delta t}{\Delta x^2} < \frac{1}{2}$ ，和普通的 explicit method 无异。

从图4中可以看出两种方法收敛后给出一致的结果。在时间较大时，波函数有振荡现象，我认为这是反射波（边界条件相当于完美反射壁）干涉导致的。

程序使用了 numpy 和 matplotlib 和 scipy 库。在安装了依赖库的环境下运行 `q2_schrodinger_explicit.py` 或 `q2_schrodinger_CN.py` 即可。

2.4 Pseudocode

Algorithm 2 Time Dependent Schrodinger: CN

Input: potential $V(r)$, initial wave function ψ , simulation time t_m

Output: $\psi(x, t)$

- 1: $\psi_{i,0} \leftarrow \text{input init } \psi$
 - 2: $t \leftarrow 0$
 - 3: $\alpha \leftarrow \frac{dt}{dx^2}$
 - 4: **while** $t < t_m$ **do**
 - 5: $t \leftarrow t + dt$
 - 6: Construct matrix B ▷ according to 7
 - 7: $\psi_{i,t} \leftarrow (2I + \alpha B)^{-1}(2I - \alpha B)\psi_{i,t-dt}$
 - 8: **end while**
- Return:** $\psi_{i,t}$
-

¹事实上应该不是 stable 的，参见 [2]

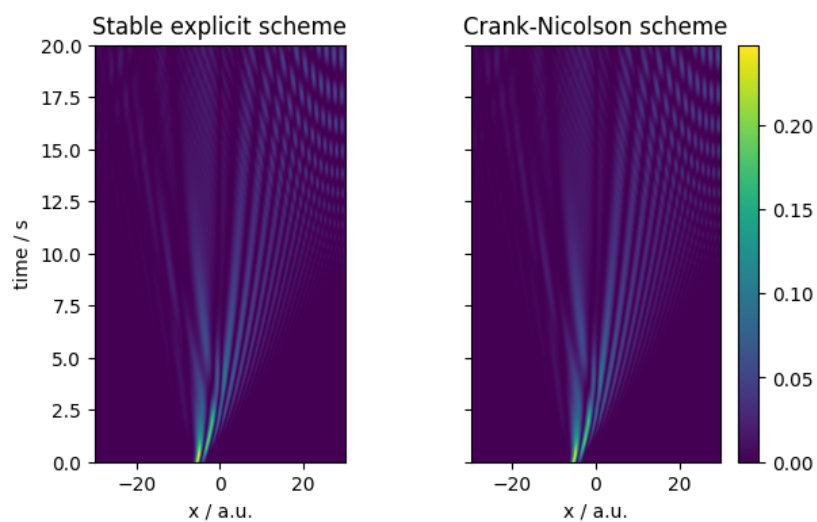


图 3: C-N method and stable explicit method 的结果

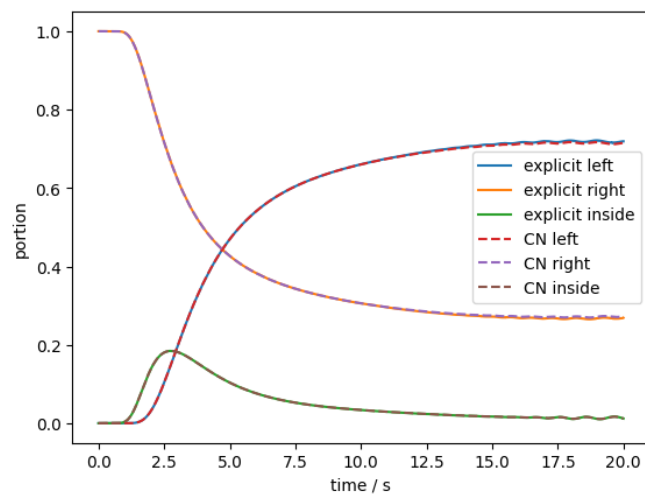


图 4: 两种方法中粒子密度随时间的变化。可以观察到在势阱左侧的粒子逐渐减少, 右侧逐渐增加。

2.5 Pseudocode

Algorithm 3 Time Dependent Schrodinger: stable explicit

Input: potential $V(r)$, initial wave function ψ , simulation time t_m

Output: $\psi(x, t)$

```

1:  $\psi_{i,0}, \psi_{i,-dt} \leftarrow$  input init  $\psi$ 
2:  $t \leftarrow 0$ 
3:  $\alpha \leftarrow \frac{dt}{dx^2}$ 
4: while  $t < t_m$  do
5:    $t \leftarrow t + dt$ 
6:    $\psi_{j,t} \leftarrow \psi_{j,t-dt} + \frac{idt}{dx^2}(\psi_{j+1,t-dt} + \psi_{j-1,t-2dt}\psi_{j,t-dt}) - 2idtV_j\psi_{j,t-dt}$ 
7: end while
Return:  $\psi_{i,t}$ 

```

3 Stability of 1D explicit method

As for 1D wave equations, insert the ansatz $u_{x_i,t_j} = \xi^{t_j} e^{iKx_i\Delta x}$ into

$$u_{x_i,t_{j+1}} = 2u_{x_i,t_j} - u_{x_i,t_{j-1}} + \frac{c^2\Delta t^2}{\Delta x^2}(u_{x_{i+1},t_j} - 2u_{x_i,t_j} + u_{x_{i-1},t_j}) \quad (9)$$

which is

$$\xi^{t_{j+1}} e^{iKx_i\Delta x} = 2\xi^{t_j} e^{iKx_i\Delta x} - \xi^{t_{j-1}} e^{iKx_i\Delta x} \quad (10)$$

$$+ \alpha^2 (\xi^{t_j} e^{iKx_{i+1}\Delta x} - 2\xi^{t_j} e^{iKx_i\Delta x} + \xi^{t_j} e^{iKx_{i-1}\Delta x}) \quad (11)$$

where $\alpha^2 = \frac{c^2\Delta t^2}{\Delta x^2}$. Noting $x_{i+1} = x_i + 1$ and $t_{i+1} = t + 1$, it further simplifies to

$$-\xi + 2 - \xi^{-1} + \alpha^2(e^{iK\Delta x} - 2 + e^{-iK\Delta x}) = 0 \quad (12)$$

Denoting $1 + \alpha^2(e^{iK\Delta x/2} - 1 + e^{-iK\Delta x/2}) = 1 - 2\alpha^2 \sin^2 \frac{K\Delta x}{2}$ as η and the solution yields

$$\|\xi\| = \|\eta \pm \sqrt{\eta^2 - 1}\| \quad (13)$$

When $\frac{c\Delta t}{\Delta x} = \|\alpha\| \leq 1$, $-1 \leq \eta \leq 1$, $\|\xi\|^2 = \eta^2 + 1 - \eta^2 = 1$ and thus convergent. On the other hand, when $\|\alpha\| > 1$, $\|\eta + \sqrt{\eta^2 - 1}\|$ certainly exceeds the boundary.

Therefore, the convergence condition is $\|\alpha\| = \frac{c\Delta t}{\Delta x} \leq 1$

References

- [1] Attila Askar and Ahmet S Cakmak. “Explicit integration method for the time-dependent Schrodinger equation for collision problems”. In: *The Journal of Chemical Physics* 68.6 (1978), pp. 2794–2798.
- [2] Robert J. Rubin. “Comment on explicit integration method for the time-dependent Schrödinger equation”. In: *The Journal of Chemical Physics* 70.10 (1979), pp. 4811–4811. DOI: 10.1063/1.437245. URL: <https://doi.org/10.1063/1.437245>.